

Lunge, linkes Herz, rechtes Herz – wo liegen die Ursachen für Luftnot?

Sven Gläser

Universitätsmedizin Greifswald

Dyspnoe

Dyspnoe (grch.) Atemnot, Kurzatmigkeit.

Erschwertes, anstrengendes und unkomfortables Atmen ...

Wright, G. W., and B. V. Branscomb. 1954. Origin of the sensations of dyspnea. Trans. Am. Clin. Climatol. Assoc. 1966:116-125.

... Wahrnehmung von Atemanstrengung ...

Wasserman, K., and R. Cassaburi. 1988. Dyspnea: physiological and pathophysiological mechanisms. Ann. Rev. Med. 39:503-515

... unangenehme Wahrnehmung der Atmung ...

Mahler, D. A., A. Harver, T. Lentine, J. A. Scott, K. Beck, and R. M. Schwartzstein. 1996. Descriptors of breathlessness in cardiorespiratory diseases. Am. J. Respir. Crit. Care Med. 154:1357-1363.

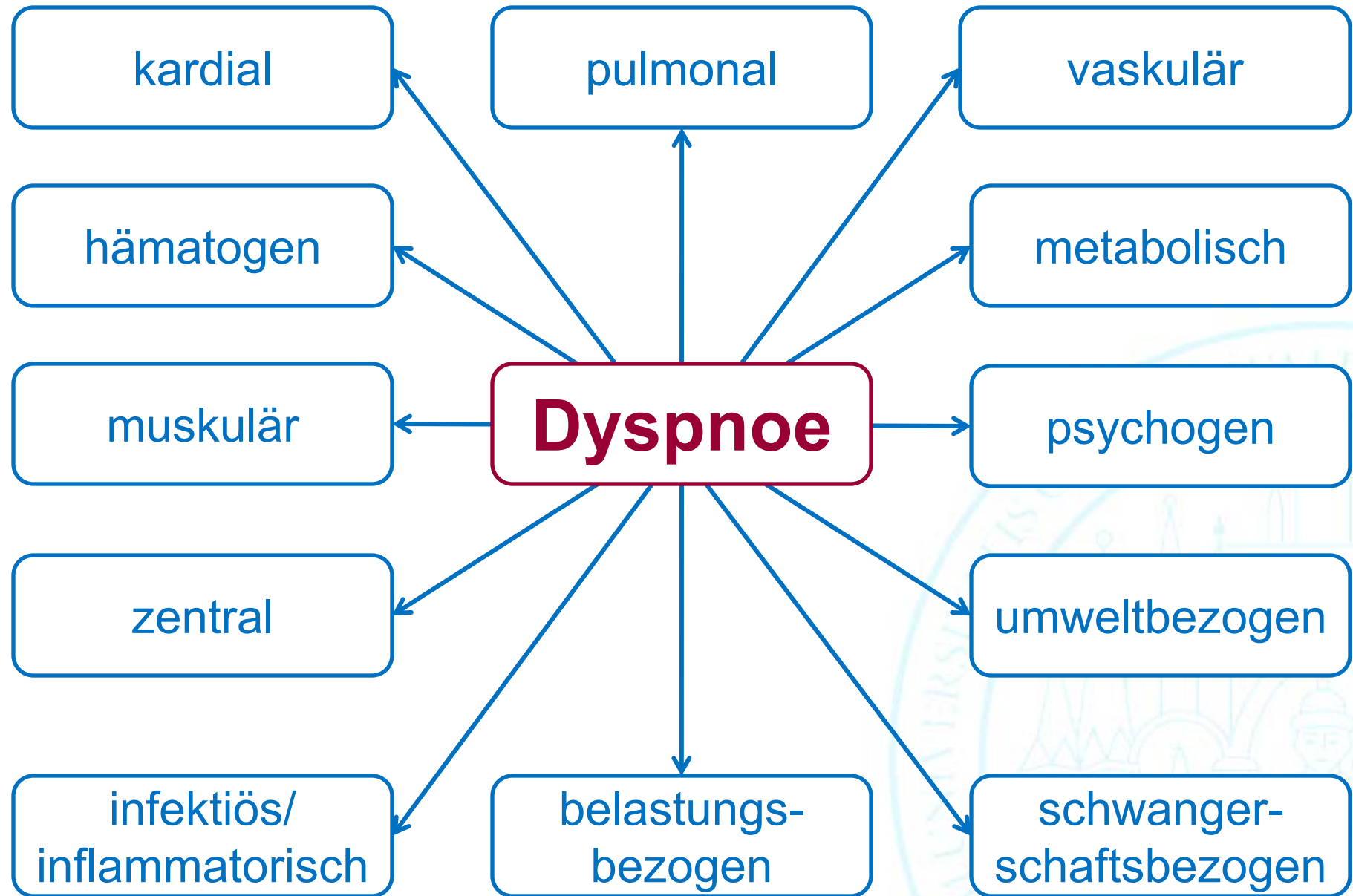
... Vorhandensein von Kurzatmigkeit oder Wahrnehmung von Lufthunger ...

Simon, P. M., R. M. Schwartzstein, J. W. Weiss, K. LaHive, V. Fencl, M. Teghtsoonian, and S. E. Weinberger. 1989. Distinguishable sensations of breathlessness in normal volunteers. Am. Rev. Respir. Dis. 140:1021-1027.

... dyspnea is a term used to characterize a subjective experience of breathing discomfort that consists of qualitatively distinct sensations that vary in intensity ...

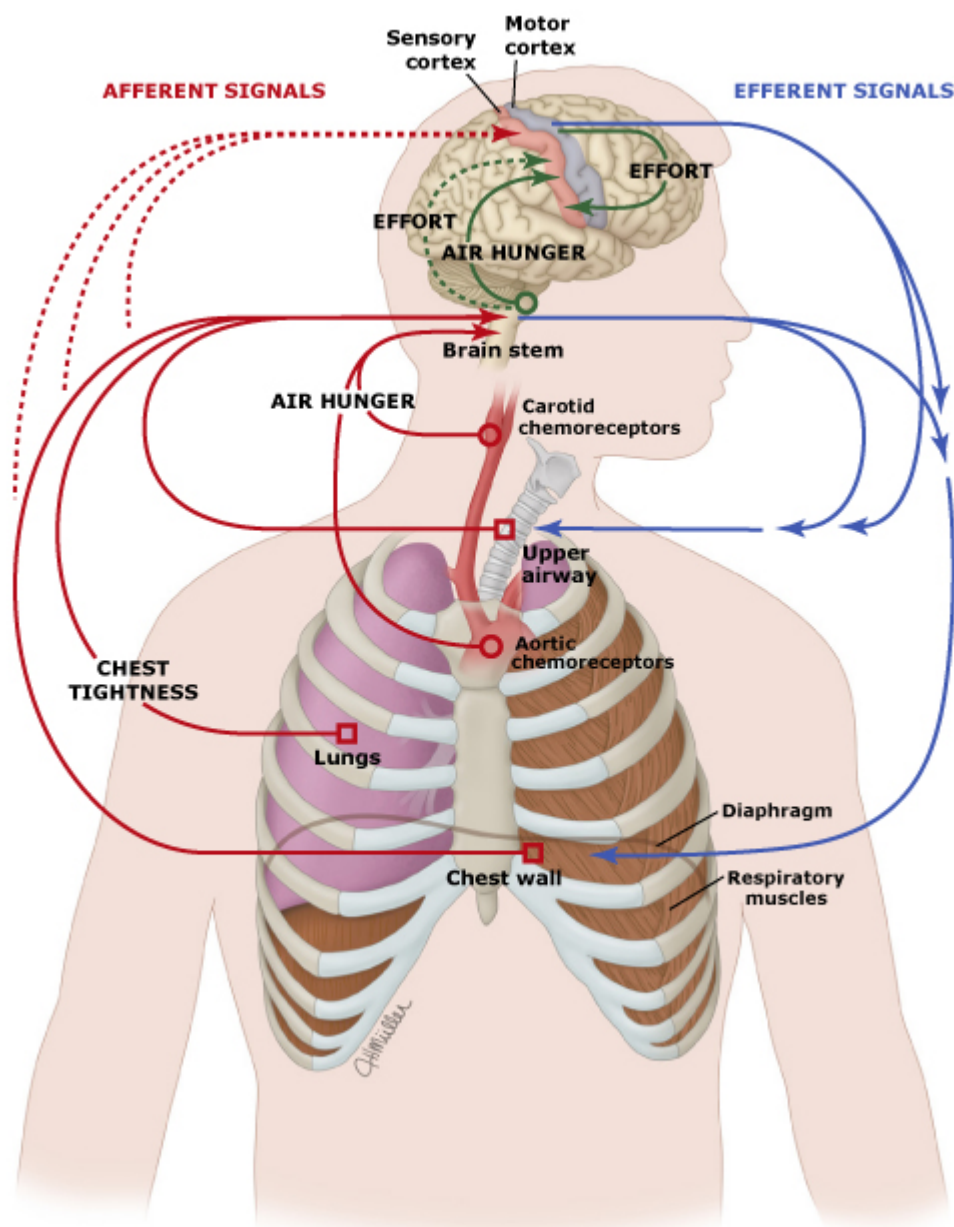
ATS Statement 2011

Dyspnoe - Genese



Simon, P. M., et al 1990. Distinguishable types of dyspnea in patients with shortness of breath. Am. Rev. Respir. Dis. 142:1009-1014. Elliott, M. et al 1991. The language of breathlessness: use of verbal descriptors by patients with cardiopulmonary disease. Am. Rev. Respir. Dis. 144:826-832. Mahler, D. A. et al. 1996. Descriptors of breathlessness in cardiorespiratory diseases. Am. J. Respir. Crit. Care Med. 154:1357-1363.

„Dyspnoe“ regulation

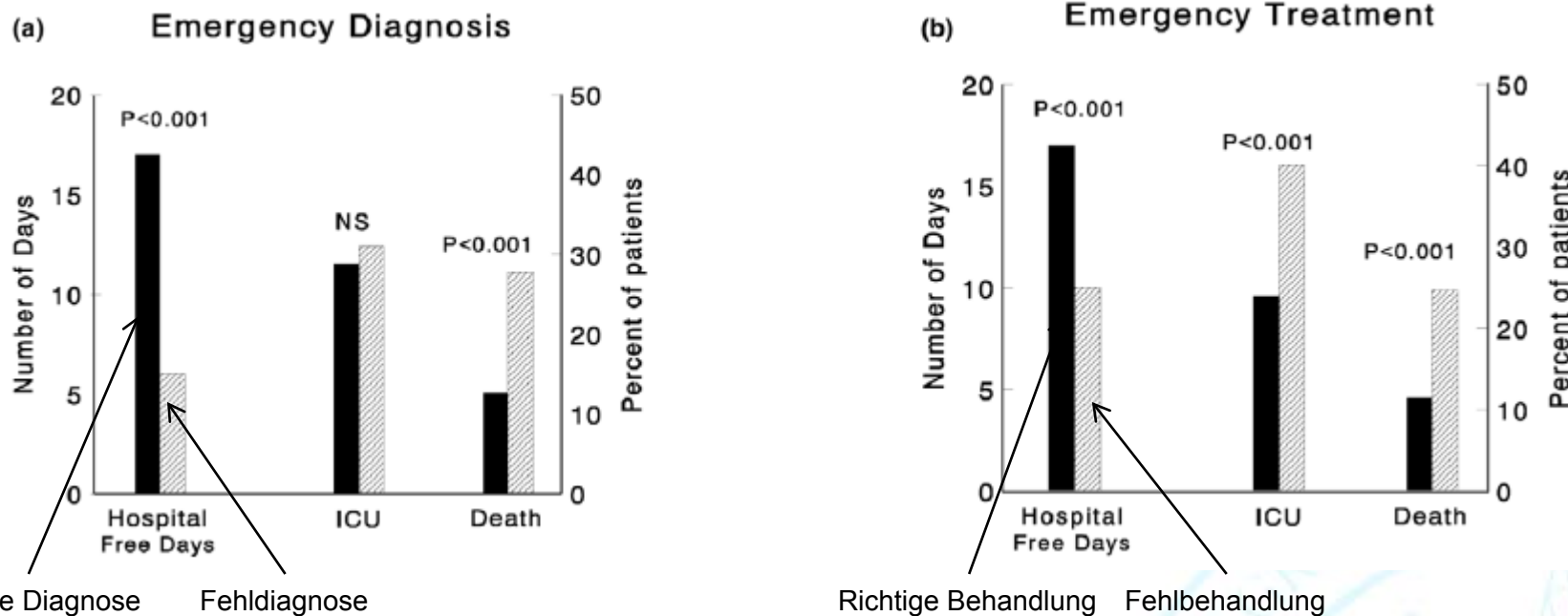


Efferente Signale gesteigert durch:

- Chemorezeptoren
- Mechanorezeptoren
 - Atemwege, Lunge, Thoraxwand
- Thermorezeptoren
 - Dermal, obere Atemwege
- Pulmonale Rezeptoren
- Peripher muskuläre Rezeptoren?
- Kardiale Rezeptoren?

- Epidemiologie:
 - USA 2003 (ACEP):
 - 3,5% von 115.000.000 Rettungsstellenvorstellungen
 - Dyspnoequivalente (Husten, Brustenge) 7,6%
 - Diagnosen bei Personen ≥ 65 Jahre
 - (AF ≥ 25 /min, $\text{paO}_2 \leq 70$ mmHg oder $\text{SpO}_2 < 92\%$, $\text{paCO}_2 \geq 45$ mmHg oder pH $\leq 7,35$):
 - Kardiogenes Lungenödem 43%, CAP 35%, AECOPD 32%, Lungenembolie 18%, Asthma 3%.
 - 47% mit mehreren Diagnosen.
 - „Missed diagnosis“ in Rettungsstelle 20%.

Akute Dyspnoe



Assessment of the diagnostic performance of the emergency physicians ($n = 514$)

Diagnosis	Sensitivity	Specificity	Positive predictive value	Negative predictive value	Accuracy
CPE	0.71 [0.65–0.77]	0.80 [0.75–0.84]	0.74 [0.70–0.87]	0.78 [0.72–0.82]	0.76 [0.72–0.80]
CAP	0.86 [0.80–0.90] ^a	0.76 [0.71–0.80]	0.66 [0.59–0.71] ^a	0.91 [0.87–0.93] ^a	0.79 [0.75–0.82]
Acute exacerbation of CRD	0.71 [0.64–0.78]	0.83 [0.79–0.87]	0.66 [0.59–0.73] ^a	0.86 [0.82–0.89] ^a	0.81 [0.78–0.84] ^a
Pulmonary embolism	0.75 [0.66–0.83]	0.78 [0.74–0.82]	0.43 [0.36–0.51] ^a	0.93 [0.90–0.96] ^a	0.78 [0.74–0.81]
Asthma	0.67 [0.42–0.85]	0.97 [0.95–0.98] ^a	0.42 [0.24–0.61] ^a	0.99 [0.98–1.00] ^a	0.96 [0.94–0.98] ^a

DIFFERENTIALDIAGNOSTIK DER DYSPNOE



Welche Dyspnoe liegt vor?

AKUT

Herzinsuffizienz
Ischämie
Arrhythmie
Lungenembolie
Pneumothorax
Zwerchfellparese
Aspiration

CHRONISCH

Herzinsuffizienz
Ischämie, Vitien
Pulmonale Hypertonie
Parenchymale /Pleurale Prozesse
Muskuläre Erkrankungen
Dekonditionierung

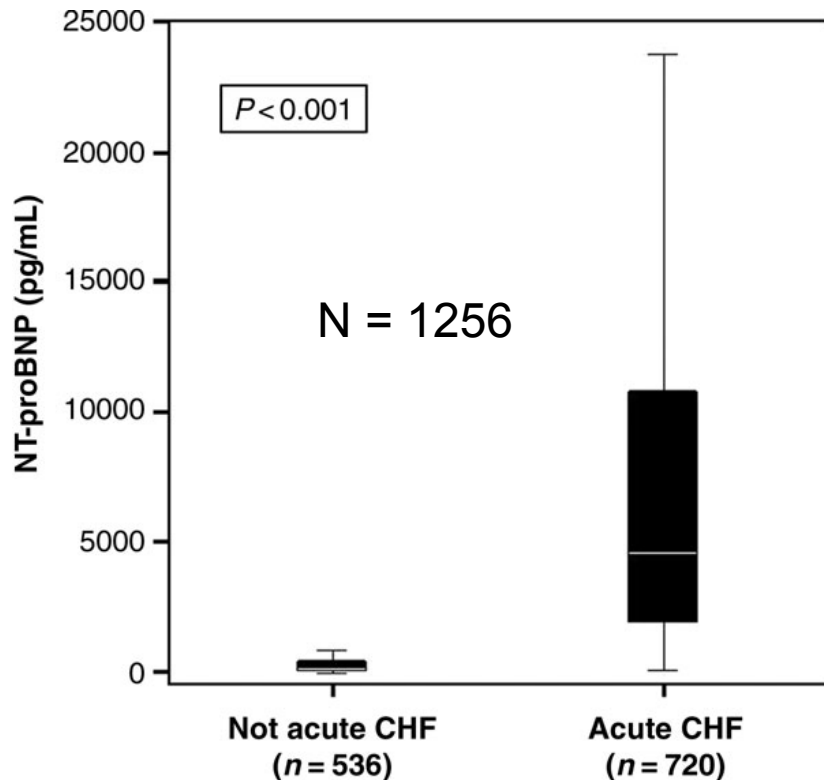
Differentialdiagnostik der Dyspnoe

1. Kardial vs. nicht-kardial

- Klinik
- Ischämiediagnostik
- Bildgebung
- Natriuretrische Peptide



Heart failure vs. Non-HF - BNP



Cave:
zahlreiche Confounder für
BNP

Nierenfunktion, fluid
overload, VHF, LAE,
Beatmung, Alter, ...

Heart failure vs. Non-HF - BNP

Category	Optimal cut-point	Sensitivity (%)	Specificity (%)	PPV (%)	NPV (%)	Accuracy (%)
Confirmatory ('rule in') cut-points						
<50 years (<i>n</i> = 184)	450 pg/mL	97	93	76	99	94
50–75 years (<i>n</i> = 537)	900 pg/mL	90	82	83	88	85
>75 years (<i>n</i> = 535)	1800 pg/mL	85	73	92	55	83
Rule in, overall		90	84	88	66	85
Exclusionary ('rule out') cut-point						
All patients (<i>n</i> = 1256)	300 pg/mL	99	60	77	98	83

Kardiologen:

Optimale Cut offs für *Nachweis* sind altersabhängig!

< 50 Jahre: 450 pg/ml
 50 – 75 Jahre: 900 pg/ml
 > 75 Jahre: 1800 pg/ml

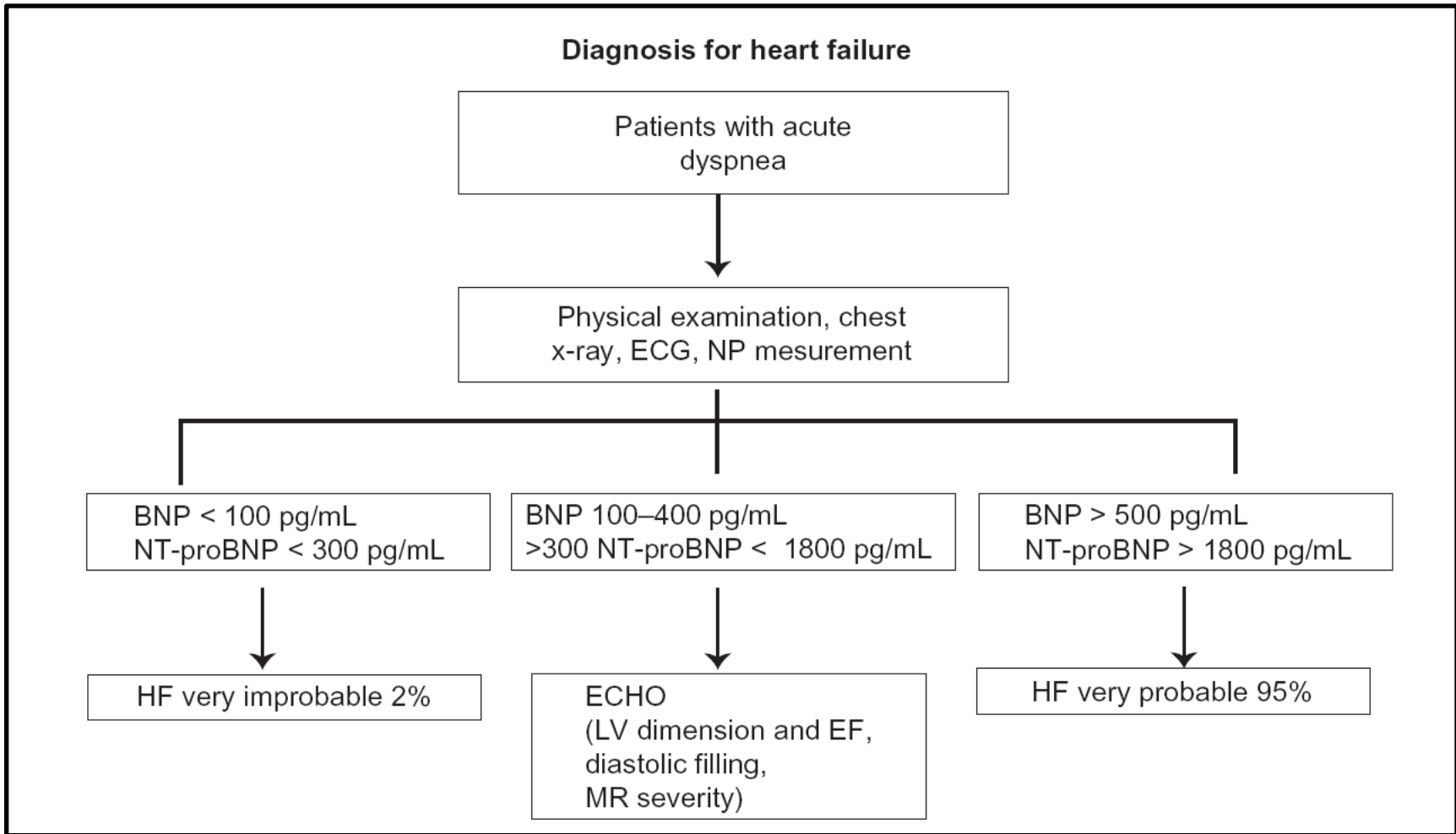
Nicht-Kardiologen:

Optimale Cut offs für *Ausschluss* sind
 altersunabhängig!
 300 pg/ml

BNP bei unselektionierten Patienten mit Dyspnoe?

Medication	BNP Group (n = 306), n (%)	Control Group (n = 306), n (%)	Between-Group Difference (95% CI), percentage points*
Bronchodilator	122 (39.8)	112 (36.6)	3.2 (-4.5 to 11.0)
Diuretic	110 (36.0)	109 (35.6)	0.4 (-7.3 to 8.0)
Vasodilator	52 (17.0)	47 (15.4)	1.6 (-4.2 to 7.5)
Antibiotic	100 (32.7)	112 (36.6)	-3.9 (-11.5 to 3.6)
Steroid	80 (26.1)	65 (21.2)	4.9 (-1.8 to 11.7)
Morphine	17 (5.6)	17 (5.6)	0 (-3.6 to 3.6)
Digoxin	8 (2.6)	8 (2.6)	0 (-2.5 to 2.5)
Amiodarone	0 (0)	2 (0.7)	-0.7 (-1.6 to 0.3)
ACE Inhibitor	3 (1.0)	3 (1.0)	0 (-1.6 to 1.6)
Noninvasive ventilation	43 (14.1)	30 (9.8)	4.3 (-0.9 to 9.4)

- Ohne Einfluss auf Behandlung
- Ohne Einfluss auf Outcome, Survival, Aufenthaltsdauer, Betreuungsumfang (ICU; CCU; periphere Station)



Differentialdiagnostik der Dyspnoe

2. Kardial

– Linkes Herz vs. Rechtes Herz?

- Klinik
- Bildgebung
- Invasive Diagnostik ± Belastungsuntersuchungen



49 Jahre, männlich, adipös

- Dyspnoe NYHA 2, progradient
- Lungenfunktion: unauffällig
- Echo: unauffällig
- Spiroergo: Abbruch wegen Dyspnoe mit peakVO₂ von 64% pp, sonst keine wegweisenden Befunde
- Koronarangiographie: unauffällig

Chronische Dyspnoe

Zeitpunkt		base 3 L 02	25 Watt 3 L 02
mean SAP	mmHg	82	87
mean PAP	mmHg	27	45
PAWP	mmHg	11	25
CVP	mmHg	3	12
Fick			
HMV =CO	l/min	4,7	5.2
SVR	dyn s cm ⁻⁵	1336	1595
PVR	dyn s cm ⁻⁵	271	425
Blutdruck systolisch	mmHg	119	130
Blutdruck diastolisch	mmHg	62	64
PA systolisch	mmHg	43	71
PA diastolisch	mmHg	15	16
art pO ₂	mmHg	94,7	97,1
art pCO ₂	mmHg	36,6	35,8
art SO ₂	%	96,8	96,7
ven SO ₂	%	61,8	52,7
art tO ₂	Vol%	13,99	13,98
ven tO ₂	Vol %	8,93	7,62
AVDO ₂	Vol %	5,06	6,36

Differentialdiagnostik der Dyspnoe

3. nicht-kardial

– Pulmonal vs. nicht-pulmonal

- Klinik
- Lungenfunktion
- Bildgebung
- Belastungsuntersuchungen

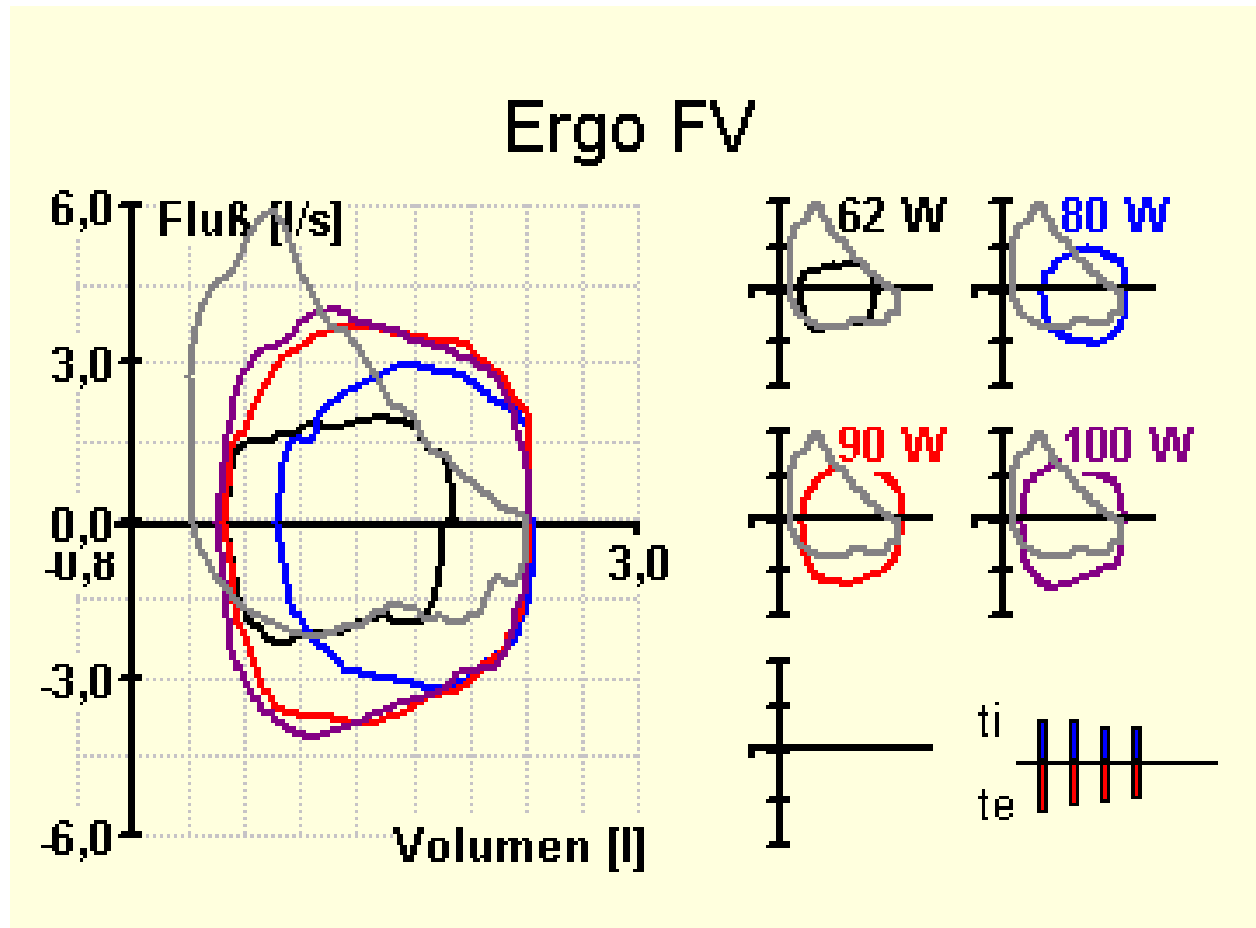


Nicht jeder „Lungenkranke“ ist atemmechanisch limitiert!

- 453 consecutive pts., 197 femal, GOLD stage I – IV.

Variables	Control Group	Patients in ATS/ERS-GOLD Stages			
		1	2	3	4
Watts†	132 ± 58	106 ± 38	94 ± 42	74 ± 38	54 ± 26
Peak $\dot{V}O_2$					
% predicted‡	82 ± 18	82 ± 23	67 ± 18	57 ± 15	38 ± 14
kg§	18 ± 7	17 ± 5	14 ± 4	11 ± 3	9 ± 3
Peak HR, % predicted	86 ± 13	90 ± 15	83 ± 14	79 ± 14	76 ± 11
Peak \dot{O}_2 pulse,¶ % predicted	96.6 ± 17.8	93.1 ± 23.5	82.2 ± 22.5	73.8 ± 23.6	59.2 ± 20.7
MVE/MVV ratio,† %	60.1 ± 17.3	69.5 ± 16.2	69.5 ± 17.6	83.5 ± 14.4	86.7 ± 13
Pao ₂ , mm Hg					
Baseline#	85.9 ± 12	86.4 ± 11	79.1 ± 10	75.4 ± 10	66.1 ± 11
Peak**	104.9 ± 13	100.2 ± 13	n.s.	91.8 ± 15	82.8 ± 15
Paco ₂ , mm Hg					
Baseline††	39.6 ± 3	38.3 ± 3	39.0 ± 4	39.8 ± 4	45.5 ± 7
Peak††	36.1 ± 4	34.4 ± 5	37.9 ± 5	41.1 ± 4	47.8 ± 8
P(A-a)O ₂ , mm Hg					
Baseline§§	19 ± 11	21 ± 11	26 ± 11	29 ± 9	31 ± 9
Peak	13 ± 10	17 ± 12	21 ± 14	26 ± 14	31 ± 14

Differentialdiagnostik attemechanische Limitierung



DYSPNOEQUANTIFIZIERUNG



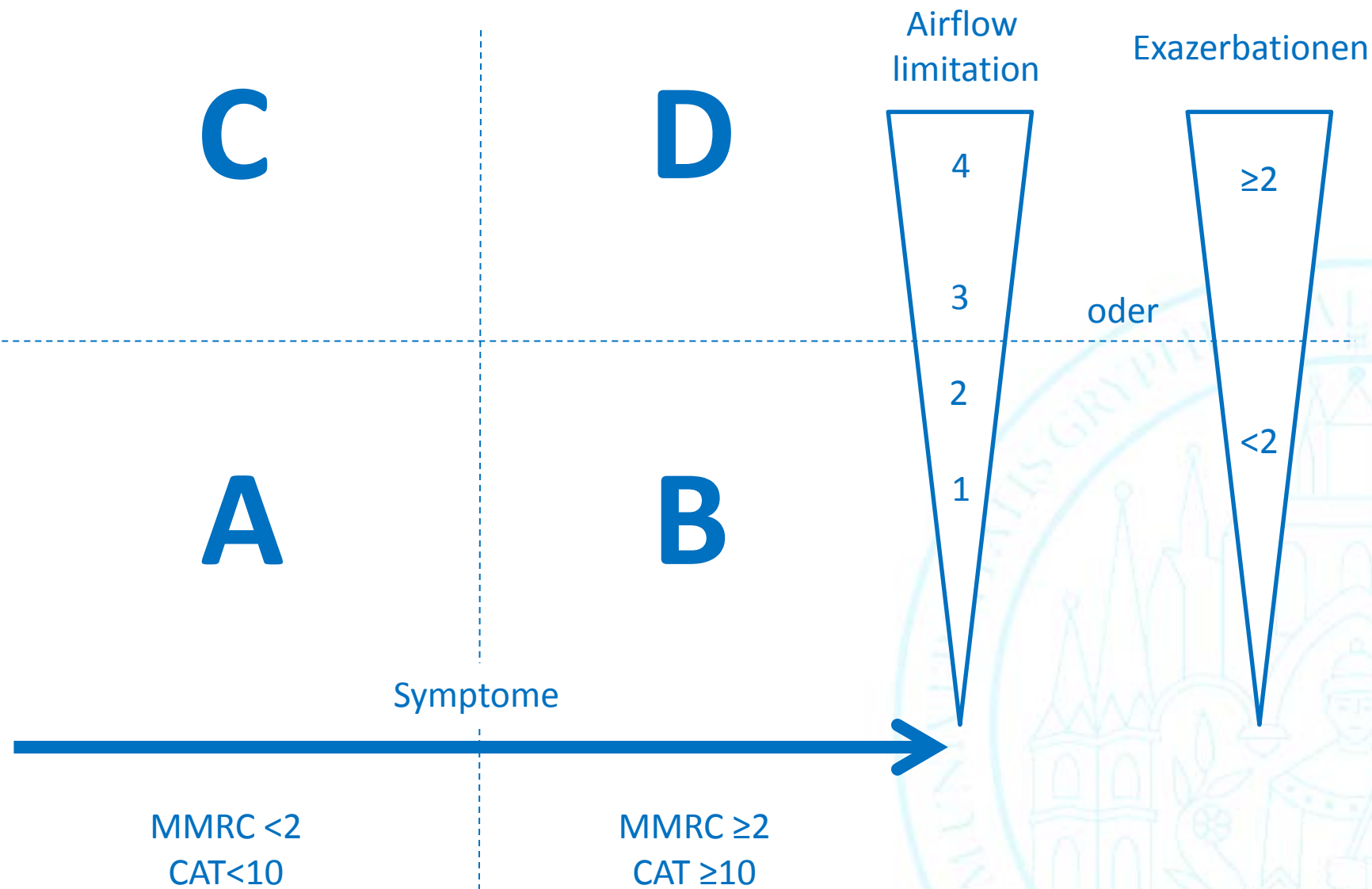
Dyspnoe-Quantifizierung ist eine Domäne der Fragebögen!

- Erkrankungsspezifisch!
 - CAT, mMRC, SGRQ, CCQ, BORG, NYHA, MLHF, ...

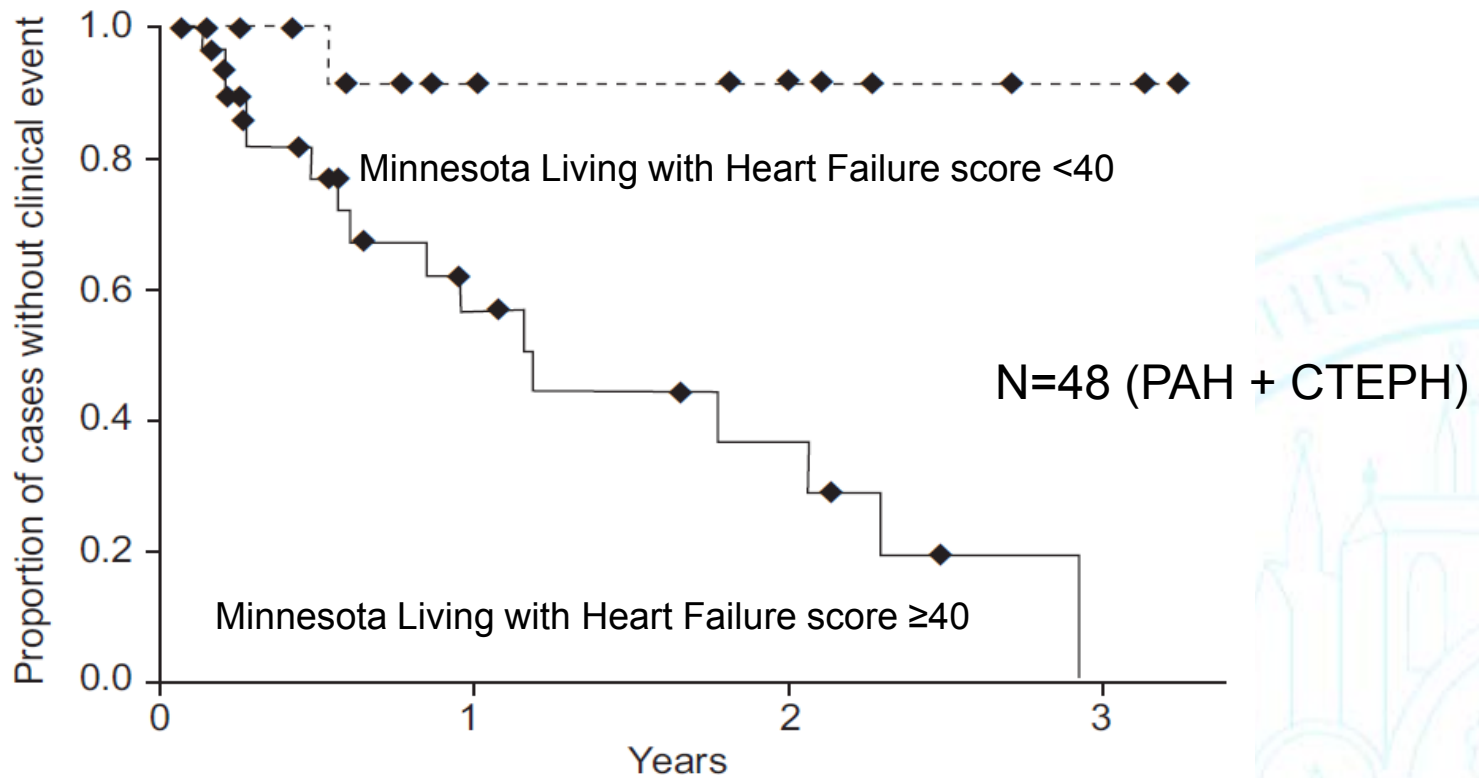
Dyspnoequantifizierung

- Fragebögen – Nutzbarkeit im Klinikalltag?
 - N=90 COPD, FEV1 38,7%, Dänemark
 - SGRQ-St. Georg's Respiratory Questionnaire; CAT-COPD Assessment Test; CCQ-COPD Clinical Questionnaire
 - Zeitbedarf:
 - SGRQ 578 Sek., CAT 107 Sek., CCQ 134 Sek.
 - Hilfebedarf:
 - 86.5% SGRQ, 53.9% CAT, 36.0% CCQ

GOLD 2013



Therapie der PH – Quantifizierung vs. Objektivierung?



MLHF ist assoziiert zu:
nicht assoziiert zu:

NYHA, Borg
6-MWD, RA, RV, mPAP, CI, SvO₂

Zusammenfassung

- Dyspnoe ≠ Dyspnoe
- Differentialdiagnostische Abklärung akuter Dyspnoe ist von prognostischer Bedeutung
- Differentialdiagnostische Abklärung chronischer Dyspnoe organbezogen
- Quantifizierung mit krankheitsspezifischen Fragebögen in Kombination mit Objektivierung

[Show additional filters](#)**Article types**

Clinical Trial

Review

More ...

Text availability

Abstract available

Free full text available

Full text available

Publication dates

5 years

10 years

Custom range...

Species

Humans

Other Animals

[Clear all](#)[Show additional filters](#)[Display Settings:](#) Summary, 20 per page, Sorted by Recently Added[Send to:](#) [Filters: Manage Filters](#)**Results: 1 to 20 of 37883**<< First < Prev Page of 1895 Next > Last >>

- [Metallic expandable stents in the management of malignant tracheal stenosis due to esophageal cancer with lymph node metastasis.](#)

1. [Peng Z, Xu S, Li H, Sun C, Fu M.](#)

Oncol Lett. 2013 Nov;6(5):1461-1464. Epub 2013 Sep 17.

PMID: 24179541 [PubMed]

[Related citations](#)

- [Comparison of face-to-face interview and telephone interview administration of COPD assessment test: a randomized study.](#)

2. [da Silva GF, Morano MT, Sales MP, Olegário NB, Cavalcante AG, Pereira ED.](#)

Qual Life Res. 2013 Nov 1. [Epub ahead of print]

PMID: 24178631 [PubMed - as supplied by publisher]

[Related citations](#)

- [Impact of physiotherapy on patients with advanced lung cancer.](#)

3. [Ozalevli S.](#)

Chron Respir Dis. 2013;10(4):223-32. doi: 10.1177/1479972313508965.

PMID: 24177683 [PubMed - in process]

[Related citations](#)

New feature

Try the new Display Settings option -
Sort by Relevance

Results by year

[Download CSV](#)

Related searches[dyspnea scale](#)[acute dyspnea](#)[morphine dyspnea](#)[copd dyspnea](#)[ticagrelor dyspnea](#)

DANKE!